

# 孔内載荷試験による岩盤定数の測定

日本大学理工学部 正員 ○色 部 誠  
川崎地質株式会社 正員 川 村 泰 資

## 1. まえがき

試験解析の直視観察ができないこと、また機器の遠隔操作による観測が容易でないことの二つの理由が岩盤に対する变形試験とりわけ孔内載荷試験の最大の難点となつてゐる。

孔内載荷試験の結果から岩盤の弹性諸定数および粘弾性諸定数を決定する方法についていくつかの發表<sup>1,2,3</sup>が見られてゐるが、それらはすべて載荷過程で岩盤の連續性に変化が起こらないことを前提としている。しかし、実際の現象では、ボーリング孔の内壁に圧力が加えられれば、低圧のもとでも周方向に引張の状態を生ずるのであるから、壁面に半径方向クラックを生じないという保証はない。そして、高圧になると、岩盤内部で初期地圧を考慮してもなお岩石の引張強度を超す引張応力が生ずる場合には、内部ヘリクタックは進展してゆくであろう。

本論文では、孔内載荷試験において、岩盤クラックの発生を考慮した場合の試験データの解析法を示し、東京都内大森付近の深度 39.0 m の泥岩に対して行なわれた試験の結果へのその適用を述べる。なお、試験データが不足ではあるが、同じ試験結果から行なった岩盤の降伏標準の推定についても述べる。

## 2. 解析法

岩石に比し剛と見なし得る載荷板を介して孔壁に一方向の荷重を加える試験機（Goodman 方式の試験機などは KKT 試験）による場合について考える。鋼と岩石とのあいだでは、特別を除き、摩擦係数が 0.5 以下となることは稀であるので、鋼載荷板に接する孔壁には、加圧方向のみの一様な変位が生ずると見なしてよい。このよる剛体-弾性体接触問題を有限要素法によつて解く手続を文献 3 に示している（補遺参照）。シミュレーション法により、平面ひずみを仮定して解を導く。

孔周辺岩盤にクラックの発生を考える場合、初期応力よりは初期ひずみを無視するわけにはゆかないが、岩石の種類、地質条件などと孔後の経過時間により孔周のゆるみ状況はことなり、残存地圧を求めるることは容易ではない。よって、シミュレーションは、孔軸から半径 2.5 D (D = 孔の直径) の範囲の岩盤は、完全ひずみを生じ地応力の状態にあるものとする。すなわち、この範囲の初期応力、初期ひずみを無視する。

### 2-i. 荷重-変位曲線の区分

図-1 は KKT 試験機による荷重-載荷板変位の代表的な曲線を示す。荷重が低い段階で、載荷板と孔壁との接觸面における圧着度の進行ならびにこれと類似の現象である載荷板近くの接觸面に沿う平行する既存クラックの閉塞、および、引張領域に生ずるクラックにより、大きな変位を生じ、曲線の勾配は緩やかである。この段階を図中に記号 I で示す。これらの現象が収束し、安定した状態にいたれば、かなりの荷重範囲に対し、曲線の勾配は一定し、岩盤は弾性を呈する。この段階を図中に記号 II で示す。段階Ⅱを越すと、曲線上に小さな複数の部分があることがある。この緩勾配は、岩盤内に降伏を生じ、変位が増大することによるものであり、この段

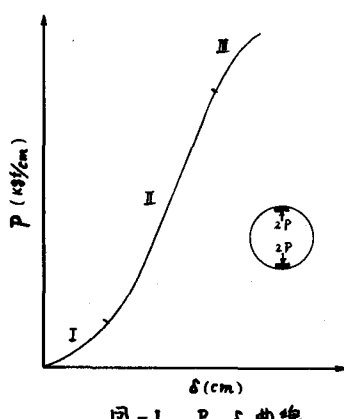


図-1. P-δ 曲線

階が記号Ⅱで示されている。段階Ⅲの曲線が得られる場合、ⅡからⅢへの移行点で求まる載荷板直下の岩盤応力状態から岩石の降伏条件を評価できる。段階Ⅰ、Ⅱ、Ⅲの移行点は、実測値による荷重変位曲線では曖昧であるが、これを両対数目盛にかきかえれば、かなり明確になる。その実例を図-2に示す。同図は岩盤に付して得た荷重変位曲線であり、(a)図は実目盛により、(b)図は両対数目盛による表示である。図中の点aはⅠからⅡへの移行点であり、点bはⅡからⅢへの移行点である。

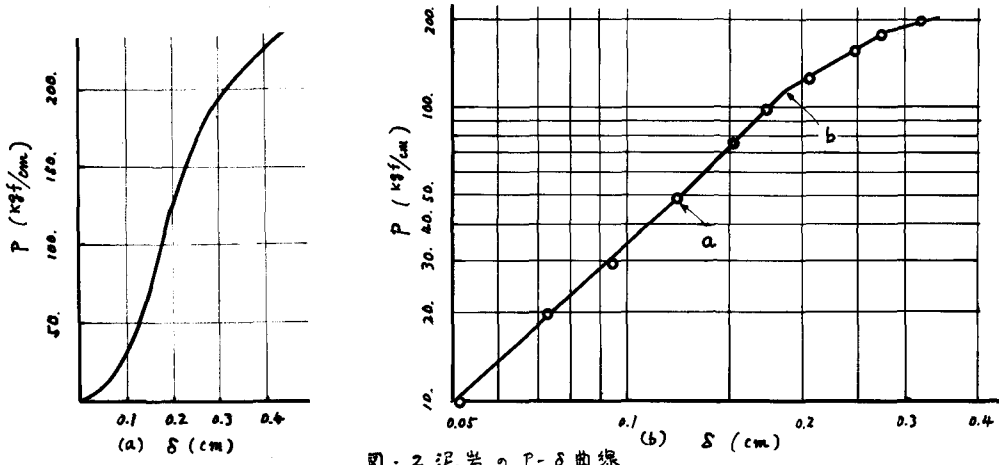


図-2 泥岩のP-δ曲線

### 2-ii. 段階Ⅰでの引張りラックと考慮した変形解析。

段階Ⅰの解析の結果から岩盤弹性係数が得られるのであって、段階Ⅰの荷重変位曲線による岩盤応力の決定は明確を欠く。しかし、孔壁加圧部の強制変位に対する岩盤内の変位分布から、

$$\{\bar{F}\}^e = [C][B]\{\delta\}^e \quad \text{もし} \quad [C] = \frac{1}{E} [D] \quad (1)$$

より無次元化応力 $\bar{F}$ は求められる。ここで $[B]$ は変位ひずみ関係マトリックス、 $[D]$ は弹性係数マトリックスである。無次元化した岩石のクラック発生規律と上式より得られる無次元化応力とから、岩盤内引張りラックの発生と発達を推定することができる。クラックの発達を知るには、段階Ⅰを数個の区間に分け、逐次解析を繰り返すべきである。この際無次元化応力を得るには、増分法によるとも全量修法によるとも簡単である。

### 2-iii. 段階Ⅱの弾性解析。

段階Ⅱでは、岩盤は安全状態にあるものとする。2-iiで得られた点aでの変位を初期状態とし、点a,b間の増分荷重 $\Delta P$ と載荷板の増分変位 $\Delta\delta$ とから、文献3に示す方法により岩盤の弹性係数Eが求まる。文献3では、解析領域の外縁を自由としているが、ここでは仮想外部境界を固定とする。これは、仮想外部境界を自由とすると、解析領域が小さく、 $\Delta P$ 、 $\Delta\delta$ が大きい場合、クラックの発達を無視し得ない不安定な応力状態を生ずるので、安全状態という仮定に矛盾する。この矛盾を回避するためには設計的措置である。

自由境界であるにも、解析領域が充分大きければ、不安定を避け得るであろうが、その結果、計算量は膨大なものとなるであろう。

以下に採用した解析領域の大きさと、要素分割の模様を図-3に示す。参考までに、載荷板の全幅3.0cm、 $\Delta P=100 \text{ kgf/cm}$ 、 $\Delta\delta=0.01 \text{ cm}$ に対して得られる岩盤弹性係数 $E$ とマシン比の関係を図-4に示す。実線は文献1のGoodmanの解から求めたもので

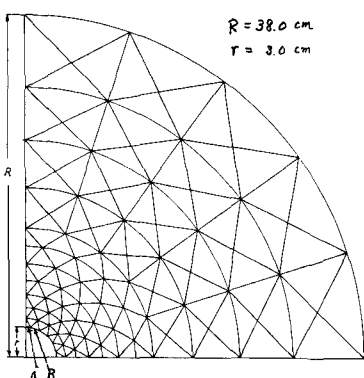


図-3

より、直線および破線はそれぞれ外部境界と自由および固定としたときの有限要素法による解である。

#### 2-iv. 移行点bの応力解析と降伏条件

段階IIではクラックの発生・発達がないとしているので、2-iiの最後に得られる応力、すなわち点aの応力に、2-iiiで得た応力を加算することにより、移行点bにおける応力が求まる。この大きさは、2-iiにおいて得られたクラックがはじめから存在するものとして、点bの荷重  $P_b$  のもとで戴荷板裏面を生じるものとし、全変化法を適用して得られる弾性解と差りはない。もっとも厳しい圧縮応力状態は戴荷板の直下にあらわれる。本解析では、図-3のA,Bが戴荷板に直接接する要素である。解は平面ひずみを仮定して求めているので、 $\sigma_z = \nu(\sigma_x + \sigma_y)$ によって定まる。

移行点bにおいて要素A,Bに生ずる応力の平均をもとし、岩盤の降伏条件に該当する応力とすることができる。いま、降伏条件に等方性材料に対するPrager-Druckerの規準

$$dI_1 + \sqrt{J_2} = \text{定}, \quad I_1 = \sigma_1 + \sigma_2 + \sigma_3, \quad J_2 = \frac{1}{6}\{(\sigma_1 - \sigma_2)^2 + (\sigma_2 - \sigma_3)^2 + (\sigma_3 - \sigma_1)^2\} \quad (2)$$

を用いるならば、もう一つの別種の戴荷試験、たとえば、岩石コアの一軸圧縮試験の結果があれば、パラメータを定めることができ、岩盤の降伏条件を確定できる。

#### 3. 試験結果の解析

図-2 7, 孔径 6.6 cm, 戴荷半径 3.0 cm の試験機によつて、測定された結果である。試験直前の泥岩にはほとんど既存クラックは見られず、岩は均一に近い。よつて、段階Iの緩勾配は引張強域に生ずるクラックの開口に記図3をもつ見なし得る。

#### 3-i. クラック解析

図-2 から点a,bにおける戴荷板裏面は 0.122 cm, 0.185 cm と読みとれる。解析では、それより 0.125 cm, 0.185 cm とした。対応する荷重は 49.5 kN/cm, 110.3 kN/cm である。段階Iは 0.~0.05 cm, 0.05~0.10 cm, 0.10~0.125 cm の3つの裏面区间に分け、順次追ってクラック解析を行なった。計算を進めたところ、ボアソン比を 0.3 として式(1)の[C]を決定した。クラック、発生規律には無次元化主応力  $\bar{\sigma}_1 = 0.0025$  を用いた。クラックは主方向に直交して発生・発達するものとした。図-5にクラックの発達状況を示す。孔壁においてクラックやは、戴荷板裏面が 0.05 cm, 0.10 cm, 0.125 cm に達するにしたがい、点1では 0.0336 cm, 0.1168 cm, 0.2208 cm、点2では 0.0133 cm, 0.0115 cm, 0.0208 cm と変化する。点2のクラック幅が車両に増加しないことを注目に値する。

#### 3-ii. 岩盤弹性係数の決定

上記の点aから点bのあたりで、増分荷重  $\Delta P$  は 60.8 kN/cm であり、増分裏面  $\Delta S$  は 0.06 cm である。2-iiiで述べたように、点aで得られるクラックの開口状態を考慮して初期条件を設定し、 $\Delta P = 60.8 \text{ kN/cm}$ ,  $\Delta S = 0.06 \text{ cm}$  の荷重・裏面条件に対しE値の解析を行なう。3160 kN/cm<sup>2</sup>を得る。 $\nu = 0.3$  とボアソン比は 0.3 とした。このE値は、クラックの発生を無視した場合に得られる値(図-4のEは  $\Delta P / \Delta S \times 10^{-4}$  を乗じて求まる) 1970 kN/cm<sup>2</sup> に比べて、約 1.5 倍の大きさである。

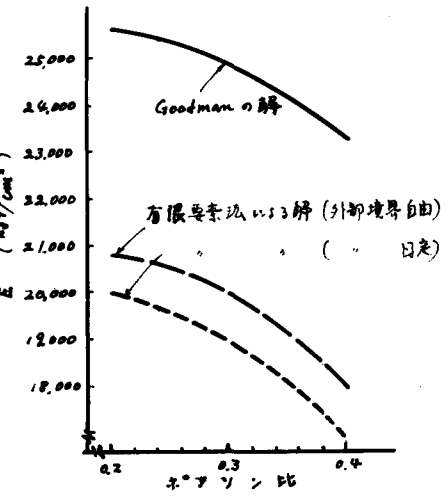


図-4

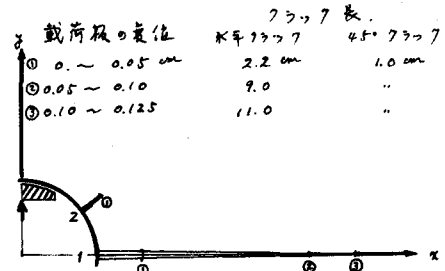


図-5 孔周のクラック発達状況

### 3-iii. 降伏規準の決定

点bにおける要素A, Bの応力を平均して、 $\sigma_z = -16.7 \text{ kN/cm}^2$ ,  $\sigma_y = -42.6 \text{ kN/cm}^2$ ,  $T_{xy} = -1.1 \text{ kNf/cm}^2$  である。これに類似した応力状態である。これより、 $\sigma_2 = -17.8 \text{ kNf/cm}^2$ , より、 $\sigma_1 = -16.7 \text{ kNf/cm}^2$ ,  $\sigma_3 = -42.7 \text{ kNf/cm}^2$  を得る。さらに、岩石コアの一軸圧縮試験から降伏応力  $\sigma_3$  が得られ、は、これらを式(2)に用い。

$$\left. \begin{aligned} -77.2\alpha + 10.8 &= k \\ \alpha\sigma_y - 0.577\sigma_y &= k \end{aligned} \right\} \quad (3)$$

を得る。これを解いて、 $\alpha = (10.8 + 0.577\sigma_y) / (77.2 + \sigma_y)$ ,  $k = -33.4\sigma_y / (77.2 + \sigma_y)$  である。上に得た弾性係数の値およびクラックの発生規準から、 $\sigma_y$  は  $-60 \text{ kNf/cm}^2$  前後と推定される。ここで、 $\sigma_y = -60 \text{ kNf/cm}^2$  とすれば、岩盤の降伏規準を次式により定義し得る。

$$-1.38 I_1 + \sqrt{J_2} = 19.8 \quad (4)$$

### 4. おわり

孔内載荷試験について、孔周辺に荷重の増加とともに引張クラックが発達するものとした場合の試験データの解析法と、その結果得られる岩盤弾性係数の値が従来の推定値に比較して大きなものとなることを示した。岩盤弾性係数のより正しい値を得るには、すなわち、ユアを用いて岩石のクラック発生規準を確定しておくことが肝要である。また、降伏規準を定めるにも、一軸圧縮試験により一軸の降伏点応力を求めておくか、同一試験孔に対し形を異にする載荷板による試験を実施し、データを得ておくことが必要である。

### 補遺

KKT試験機による孔内載荷試験のデータが得られ、は、有限要素法を用い、つぎに示す諸式により岩盤弾性係数を求めることが出来る。解析領域を要素分割から得られる剛性マトリックス  $[K]$  を未知量  $E$  で括り、 $E[K]$  とする。載荷板に接する節点  $1, 2, \dots, j$  は板に完全に接触しているものとする。これらの節点に作用する荷重を  $Y_1, Y_2, \dots, Y_j$  とすれば、剛性方程式はつぎのように記されあらわせる。

$$\begin{Bmatrix} Y_1 \\ \vdots \\ Y_j \\ \vdots \\ 0 \\ \vdots \\ b \end{Bmatrix} = E \begin{Bmatrix} \tilde{K}_{11} & | & \tilde{K}_{12} \\ \hline \tilde{K}_{21} & | & \tilde{K}_{22} \end{Bmatrix} \begin{Bmatrix} \delta \\ \vdots \\ \delta \\ \hline u_{j+1} \\ \vdots \\ v_m \end{Bmatrix}$$

したがって、節点  $j+1, \dots, n$  の荷重を消去し

$$\begin{Bmatrix} Y_1 \\ \vdots \\ Y_j \\ \vdots \\ Y_n \end{Bmatrix} = E \left( [\tilde{K}_{11}] - [\tilde{K}_{12}] [\tilde{K}_{22}]^{-1} [\tilde{K}_{21}] \right) \begin{Bmatrix} \delta \\ \vdots \\ \delta \\ \hline u_{j+1} \\ \vdots \\ v_m \end{Bmatrix} = E ([M] - [L]) \begin{Bmatrix} \delta \\ \vdots \\ \delta \end{Bmatrix}$$

を得る。 $Y_1 + Y_2 + \dots + Y_j = P$  と  $P$  と  $\delta$ との関係式

$$P = E(\alpha - \beta) \delta$$

が導ける。 $\alpha, \beta$  はそれぞれ  $[M]$  および  $[L]$  の要素の総和である。これより  $P/\delta(\alpha - \beta)$  により  $E$  を得る。

- 参考文献
- Goodman, R.E., et.al., The Measurement of Rock Deformability in Boreholes. Proc. 10th Symp. Rock Mechanics, University of Texas, Austin, 523~555. 1968.
  - de la Cruz, R.V., Modified Borehole Jack Method for Elastic Property Determination in Rocks. Rock Mechanics, 10: 221~239, 1978.
  - Irobe, M., et.al., Measurement of Viscoelastic Property of Rock by Borehole Jack Test. Intern. Symp. on Weak Rock, Tokyo, II-2-19, 110~114, 1980.

MEASUREMENT OF ROCK PROPERTIES BY BOREHOLE JACK TEST

Nihon University

Makoto IROBE

Kawasaki Geoscience Survey Co. Hiroshi KAWAMURA

It is a defect of the borehole jack test that in the rock near the test point a tension zone appears by the unidirectional jack pressure to the borehole wall. As a result it is possible that the tension crack develops. Although several procedures of the analysis of the test data have been reported by some investigators, the influence of the tension is neglected in their works.

The authors present a method to determine the rock properties in which they take into account the tension crack development. They give an important conclusion that the elastic modulus obtained by their way is much greater than the values determined without consideration of the crack occurrence.